

تعیین خواص ترمودینامیکی هیدروکربن‌ها با استفاده از معادله حالت نظریه سیالات تجمعی

PC-SAFT

مرتضی بیاره

چکیده

مهندسان جهت شبیه‌سازی فرآیندهای پالایشگاهی معادلات حالتی مورد نیاز هستند که بتوانند به نیازهای آنها پاسخ دهند. در پژوهش حاضر، از معادله حالت PC-SAFT یا نظریه آماری سیالات تجمعی جهت بیش بینی خواص ترمودینامیکی هیدروکربن‌ها استفاده شده است. بدین منظور، روابط ترمودینامیکی موردنظر به صورت تحلیلی استخراج و با کمک نرمافزار MATLAB تمامی مقادیر عددی روابط مربوط به خواص ترمودینامیکی هیدروکربن‌ها نظری چگالی، انتروپی، انتالپی، انرژی درونی و ظرفیت گرمایی هیدروکربن‌ها پیش‌بینی و ارائه شده است. مقایسه نتایج بدست آمده از کار حاضر با نتایج تجربی نشان داد که این معادله دقت مناسبی در پیش‌بینی خواص ترمودینامیکی هیدروکربن‌ها دارد و قادر است این خواص را در فشارهای بالا و دمایهای پایین پیش‌بینی نماید. نتایج حاصل از معادله حالت نظریه سیالات تجمعی مکررین خطرا برای هیدروکربن‌های خالص و بیشترین خطرا برای هیدروکربن‌های مرکب نشان می‌دهند. علاوه بر این، مقدار حدکش انحراف مطلق میانگین محاسباتی برای چگالی، انتالپی، انتروپی، انرژی درونی، ظرفیت گرمایی در حجم ثابت و ظرفیت گرمایی در فشار ثابت، به ترتیب برابر با ۱/۱۸٪، ۲/۵٪، ۰/۴۳٪، ۰/۷۷٪، ۰/۳۳٪ و ۰/۴٪ به دست آمد که نشان‌دهنده دقت بالای این معادله حالت است.

واژه‌های کلیدی: شبیه‌سازی فرآیندهای پالایشگاهی، نظریه آماری سیالات تجمعی، خواص ترمودینامیکی، هیدروکربن.

Estimation of the Thermodynamic Properties of Hydrocarbons Using Perturbed-Chain Statistical Associating Fluid Theory (PC-SAFT) Equation of State

M. Bayareh

Faculty of Engineering , ShahreKord University, ShahreKord, Iran

Abstract

Engineers need the equation of states to simulate refinery processes in order to respond to their needs. In the present study the Perturbed-chain Statistical associating fluid theory (PC-SAFT) Equation of State are used to predict thermodynamic properties of hydrocarbon fluids. PC-SAFT is able to predict the thermodynamic properties of associating fluids such as hydrocarbons. The thermodynamic relationships are derived analytically with MATLAB. The numerical values of the thermodynamic properties of hydrocarbons, such as density, entropy, enthalpy, in thermal energy, heat capacity of hydrocarbons are obtained by MATLAB as well. By comparing the results with experimental results, the author found that PC-SAFT entails accurate predictions about the properties of hydrocarbons and also can predict thermodynamic properties of hydrocarbons at high pressures and low temperature. The calculated results from PC-SAFT minimum error for pure hydrocarbon and the maximum error for mixed hydrocarbons. Furthermore, the maximum calculated average absolute are 1.18% for density, 2.5% for enthalpy, 0.77% for internal energy, 3.33% for constant volume heat capacity and 4% for constant pressure heat capacity. Therefore, very low level of errors indicates the appropriateness of PC-SAFT performance to predict thermodynamic properties of materials.

Keywords: Refinery processes simulation, Perturbed-Chain Statistical Associating Fluid Theory, Thermodynamic properties, Hydrocarbon.

استفاده از این معادلات برای محاسبه خواص ترمودینامیکی گاز طبیعی طی سالیان اخیر گسترش چشمگیری داشته است. در گذشته تلاش‌های زیادی جهت تخمین خواص ترمودینامیکی گازهای سیک فرآیندی صورت گرفته است. این امر به علت تخمین این خواص از دیدگاه مهندسی و ضرورت استفاده از آن‌ها در فرآیندهای صنعتی و بهخصوص صنعت نفت و گاز است. نتیجه این تلاش‌ها در قالب معادلات حالت بیان شده‌اند. در ابتدا معادلات ساده‌ای جهت تخمین خواص مطرح شد که فقط ارتباط بین دما، فشار و چگالی را بیان می‌کرد که به معادلات مکعبی معروف بودند [۱-۲]. این معادلات، به دلیل سادگی روابط، بسیار زیاد مورد استفاده قرار می‌گیرند [۳]. در بسیاری از نرم‌افزارهای صنعتی همچون Hysys نیز جهت تعیین خواص از انواع معادلات حالت به عنوان حل گر استفاده می‌شود. ولی این معادلات حالت توأم با محدودیت‌هایی مواجه‌اند. از جمله وقتی با مخلوط پیچیده‌ای نظری گاز طبیعی که شامل ۲۱ عنصر است مواجه می‌شویم، خطای حاصل از این

۱- مقدمه

خواص ترمودینامیکی نشان‌دهنده حالت یک سیستم در یک فرآیند ترمودینامیکی‌اند. در حالت کلی و برای یک ماده خالص، با مشخص بودن دو خاصیت ترمودینامیکی مستقل از هم می‌توان حالت ماده موردنظر را مشخص کرد. روش‌های آزمایشگاهی برای محاسبه خواص ترمودینامیکی از دقت بالایی برخوردارند؛ اما برخی از خواص ترمودینامیکی مانند انتروپی، انتالپی و انرژی درونی قابل اندازه‌گیری نبوده و بنابراین با استفاده از روش‌های آزمایشگاهی نمی‌توان آن‌ها را محاسبه نمود. همچنین هزینه بالا و دشواری نصب و تجهیز وسایل برای آزمایش، از دیگر عوامل محدودکننده استفاده از روش‌های آزمایشگاهی برای محاسبه خواص ترمودینامیکی است. با استفاده از معادلات حالت، می‌توان تمامی خواص ترمودینامیکی را با دقت قابل قبول و با صرف هزینه ناچیز و وقت اندک محاسبه نمود؛ بنابراین

* نویسنده مکاتبه کننده، آدرس پست الکترونیکی: m.bayareh@sku.ac.ir

تاریخ دریافت: ۹۵/۰۲/۲۳

تاریخ پذیرش: ۹۵/۱۱/۳۰

ارائه مدلی جهت پیش بینی رفتار سیالات محبوس در فرایندهای شیمیایی بود. کراوس و شابالین [۳۰] معادله حالت ساده ای با حداقل تعداد پارامترها برای توصیف خواص ترمودینامیکی در حالت گذار پیشنهاد کردند. این مدل نیمه تجزیی دارای هشت ثابت بود که بر اساس خواص فیزیکی و مکانیکی مواد مورد نظر به دست می آمدند. کاتاآکا و یاماذا [۳۱] معادله حالت عمومی و ساده ای را برای پیش بینی خواص هیدروکربن ها ارائه کردند. این مدل با محاسبه پارامترهای پتانسیل موثر درتابع لئونارد-جونز، خواص هیدروکربن ها را تخمین می زند.

مشکلات آزمایشگاهی زیادی برای به دست آوردن خواص ترمودینامیکی هیدروکربن ها در صنعت وجود دارد، بنابراین روشی باید ارائه شود تا بتواند پیش بینی درستی از این خواص داشته باشد. با حل معادلات حالت پیچیده تر می توان پیش بینی دقیق تری از این خواص داشت، بنابراین معادلاتی مطلوبند که بتوانند خواص را با درصد خطای بسیار کم پیش بینی نمایند و باعث صرفجویی در وقت و کاهش هزینه های آزمایشگاهی شوند.

در این پژوهش، معادله حالت سیالات تجمعی به عنوان یکی از معادلاتی که شرایط فوق را دارا است بررسی و روابط لازم جهت پیش بینی خواص ترمودینامیکی استخراج می شوند. در کار حاضر، تخمین خواص گاز طبیعی با در نظر گرفتن کلیه عناصر و هیدروکربن های موجود در ترکیب آن صورت می گیرد و با نتایج تجزیی مقایسه خواهد شد.

۲- معرفی مدل PC-SAFT و معادلات حاکم

وجود خاصیت تجمعی بین ملکول های سیال بر روی رفتار فازی و نیز ویژگی های انتقالی آن به شدت تأثیر می گذارد. علت این است که در یک سیال تجمعی نظریه آب، علاوه بر ملکول های مونومری، خوشه هایی از ملکول های به هم پیوسته با عمر به نسبت طولانی نیز وجود دارند. از این خوشه ها می توان به تجمع ناشی از پیوند هیدروژنی اشاره کرد. از آنجاکه ویژگی های خوشه ها مانند شکل، اندازه و انرژی با ویژگی های ملکول های مونومری به شدت متفاوت است، ویژگی سیال های تجمعی نیز نسبت به سیال های غیر تجمعی کاملاً متفاوت می شود. به تازگی پیشرفت های چشمگیری در نظریه ملکولی برای سیال های تجمعی به وجود آمده که مدل های کاربردی باقدرت پیشگویی بالا را ارائه می دهند. اساس این پیشرفت ها استفاده از روش های مکانیک آماری مانند نظریه اغتشاش است که بر همکنش بین سایت های تجمعی را با یک سری روابط کلی به ویژگی های توده سیال مرتبط می سازد.

ورتهام و چپمن [۱۵] بر همین اساس، نظریه سیال های تجمعی را ارائه دادند. آن ها نظریه خود را با بسط انرژی هلمهولتز به صورت انتگرال یک سری توابع توزیع مولکولی و پتانسیل تجمعی در نظر گرفتند و با استدلال فیزیکی نشان دادند که بسیاری از انتگرال ها در این سری دارای مقدار صفر است و می توان عبارتی ساده تر برای بیان انرژی هلمهولتز به دست آورد. بر پایه نظریه اغتشاش مرتبه اول ورتهام، چپمن معادله ای تحت عنوان نظریه آماری سیال های تجمع پذیر یا SAFT بر حسب انرژی آزاد هلمهولتز ارائه نمود که آثار ناشی از دافعه

معادلات به شدت افزایش می باید. معادلات مکعبی نتایج مناسبی در پیش بینی رفتارهای فازی در فشارهای پایین و متوسط ارائه می کنند ولی در ترکیبات پیچیده مخلوط گاز طبیعی، مخصوصاً وقتی از نقطه ایده آل فاصله می گیریم و همچنین در تعیین خواص حجمی در فشارهای بالا، نتایج قبل قبولی از خود نشان نمی دهند [۴]. به دنبال معادلات مکعبی، معادلات حالت نظیر به نظری در حالت کلی ارائه شدند که بر مبنای شرایط حالت نظیر به نظری بین دو سیال، تعریف شده اند. مک کارتی [۵] با استفاده از معادلات حالت توسعه یافته خواص ترمودینامیکی مواد مركب متان- نیتروژن و متان- پروپان را محاسبه کرد. تراسلر و استلا [۶] ضریب تراکم پذیری و سرعت صوت گاز طبیعی با ترکیبات بیشتر را با میانگین خطای مطلق کمتر از یک درصد پیش بینی کردند. کانز و همکاران [۷] معادله حالتی ارائه کردند که در پیش بینی خواص مخلوط های گاز طبیعی و مخلوط های تبریدی نتایج مطلوبی به همراه داشت. ونلد و همکاران [۸] با استفاده از معادله حالت بکان خواص ترمودینامیکی گاز طبیعی را با دقت قابل قبولی محاسبه کردند. نصری فر و بولند [۹] خواص ترمودینامیکی مخلوط گاز طبیعی را با استفاده از ده معادله حالت محاسبه و نتایج را باهم مقایسه کردند. آن ها یک معادله حالت جدید معرفی کردند که میانگین خطای مطلق آن برای خواصی همچون چگالی، در دماهای ۳۲۳-۲۲۵ کلوین و فشارهای کمتر از ۶۵/۳۴ مگا پاسکال از بقیه معادلات حالت کمتر بود.

اطلاع از خواص ترمودینامیکی مخلوط گاز طبیعی در تمامی مراحل ذخیره سازی، مایع سازی، انتقال و حمل و نقل امری ضروری است. معادله حالت انجمن گاز آمریکا یکی از معتبرترین معادلات حالتی است که با در نظر گرفتن اثرات متقابل اجزای مخلوط گاز طبیعی، مدل بسیار دقیقی جهت به دست آوردن خواص ترمودینامیکی ارائه می کند [۱۰]. در نظر گرفتن تأثیر اجزای گاز طبیعی بر روی خواص ترمودینامیکی از مزایای اصلی این معادله حالت است. محاسبه خواص گاز طبیعی در فاز گازی با دقت بسیار بالا از دیگر مزایای معادله حالت است. یکی از نقاط ضعف این معادله حالت و بعضی از معادلات مکعبی، ناتوانی در تخمین خواص در فازهای مایع، یا مخلوط های دوفازی و سه فازی است. با توجه به اینکه گاز طبیعی به شکل های مختلفی از جمله LPG و LNG انتقال و مورد استفاده قرار می گیرد، نیاز به معادله حالتی که محدوده گسترده تری از فشار و دما را پوشش دهد، احساس می شد. امروزه با پیشرفت مکانیک آماری، معادلات حالت هایی بر پایه تئوری مولکولی توسعه یافته است. یکی از معتبرترین این معادلات، معادله حالت تصحیح شده تئوری آماری سیالات تجمعی است. پر کاربردترین گونه این معادلات، که به نسخه های SAFT معروف اند، در سال ۲۰۰۱ توسط گراس و سادوفسکی [۱۱] بر پایه تئوری اغتشاش و رتیبه مارک ارائه شد و معادله حالت نظریه سیالات تجمعی نام دارد. از آن پس تلاش های زیادی جهت محاسبه خواص ترمودینامیکی گاز طبیعی مایع شده و یا مخلوط های دوجزئی و سه جزئی انجام گرفته است [۱۲-۱۴]. این معادله دقیق ترین جواب را برای سیستم های تعادل بخار- مایع و همچنین سیستم های فشار بالای مایع- مایع محلول ها و مخلوط های پلیمری ارائه می دهد. تان و پیری [۲۹] معادله حالت نظریه سیالات تجمعی را با معادله یانگ- لاپلاس ترکیب کردند تا خواص سیال را در نانوحفره ها مورد بررسی قرار دهند. نتیجه کار آنها

معادله حالت نظریه سیالات تجمعی به سه پارامتر مستقل ماده خالص برای مواد تجمع ناپذیر نیاز دارد. تعداد سگمنت ها (m)، انرژی برهمنکنش ($\frac{\epsilon}{k}$) با واحد k و شاعع سگمنت هسته سخت (σ) که مقدار این پارامترها با استفاده از داده های تجربی، یعنی فشار بخار و چگالی مایع، به دست می آید. جدول ۱ مقادیر مذکور را نشان می دهد [۱۷].

جدول ۱- پارامترهای مستقل معادله حالت

ϵ/k (K)	σ (A^0)	m	MW (g/mol)	نام سوت	فرمول شیمیایی
۱۵۰/۰۳	۳/۷۰۳۹	۱/۰۰۰۰	۱۴/۰۴۳	متان	CH_4
۱۹۱/۴۲	۳/۵۲۰۶	۱/۶۰۶۹	۳۰/۰۶۹	اتان	C_2H_6
۲۰۸/۱۱	۳/۶۱۸۴	۲/۰۰۲۰	۴۴/۰۹۶	پروپان	C_3H_8
۲۳۱/۲۰	۳/۷۰۸۶	۲/۳۳۱۶	۵۸/۱۲۳	بوتان نرمال	C_4H_{10}
۲۳۶/۷۷	۳/۷۷۲۹	۲/۶۸۹۶	۷۲/۱۵۰	پنتان نرمال	C_5H_{12}
۲۳۸/۴۰	۳/۷۹۸۳	۳/۰۵۸۶	۸۶/۱۷۷	هگزان نرمال	C_6H_{14}
۲۴۴/۷۸	۳/۸۰۶۹	۳/۴۸۳۱	۱۰۰/۲۰۳	هپتان نرمال	C_7H_{16}
۲۴۴/۵۱	۳/۸۳۷۳	۳/۸۱۷۶	۱۱۴/۲۳۰	اکтан نرمال	C_8H_{18}

مزیت عده معادله حالت نظریه سیالات تجمعی مربوط به محاسبات تعادل فازی و خواص ترمودینامیکی شامل مخلوط می شود. در چنین محاسباتی فرض بر این است که همان معادله حالتی که برای سیالات خالص استفاده می شود، می تواند برای مخلوطها نیز مورداستفاده قرار گیرد. به طور معمول این امر با استفاده از قواعد اختلال و ترکیب که خواص مواد خالص را به مخلوطها ارتباط می دهد، امکان پذیر است. معمولاً قواعد اختلال در مدل های مختلف مربوط به مخلوطها از معادلات حالت درجه سه گرفته تا مدل مولکولی با مبنای نظریه به کار می روند [۱۸].

۱-۲- چگالی

چگالی یکی از مهم ترین خواص ترمودینامیکی مواد در صنعت است که جهت تعیین دی جرمی، دی جرمی و استفاده از روابط و معادلات حاکم بر سیالات به شمار می رود. جهت محاسبه چگالی، بعد از محاسبه انرژی آزاد هلمهولتز از طریق رابطه (۱) ضریب تراکم پذیری محاسبه می شود:

$$Z = 1 + \eta \left(\frac{\partial a^{res}}{\partial \eta} \right) \quad (10)$$

$$P = Z k T \rho \left(10^{10} \frac{\text{Å}}{\text{m}} \right) \quad (11)$$

این معادله که تنها مجھول آن چگالی است، به کمک یکی از روش های حل معادلات غیرخطی نظری نیوتن رافسون حل می شود.

اجزاء، اثر تشکیل زنجیره درنتیجه پیوند کووالانسی بین اجزاء و اثر تجمع مولکولی را در نظر می گرفت.

در نظریه اغتشاش، اندرکنش مولکول ها به دو بخش دافعه و جاذبه پتانسیل تقسیم می شود. برای محاسبه سهم دافعه، سیال مرجعی تعریف می شود که در آن هیچ اندرکنش جاذبه ای وجود ندارد. هر جمله اغتشاش یک تصحیح است که منجر به شبیه سازی دقیق تر مخلوط واقعی توسط مدل می شود. معادله حالت SAFT رابطه ای برای انرژی آزاد هلمهولتز باقیمانده سامانه ارائه می کند که سایر ویژگی های ترمودینامیکی سامانه را می توان از آن به دست آورد. یکی از موفق ترین معادلات اصلاح شده SAFT، معادله حالت نظریه سیالات تجمعی است. اصلی ترین تفاوت بین SAFT و PC-SAFT در سلسه مراتب اغتشاش است. در معادله حالت نظریه سیالات تجمعی، سیستم مرجع، مخلوط از زنجیره کره های سخت است. پس از محاسبه بخش دافعه، جاذبه های پراکنده بصورت جمله اغتشاش اعمال می شوند. معادله حالت نظریه سیالات تجمعی تلاشی برای مدل کردن سیستم های نامتقارن و غیر ایده آل است [۱۶]. در دیدگاه معادله حالت نظریه سیالات تجمعی فرض می شود که مولکول ها، زنجیره ای از سگمنت های کروی اند که آزادانه به هم متصل شده اند و می توانند بر حسب انرژی هلمهولتز باقیمانده کاوش یافته، a^{res} ، نشان داده شوند [۱۵]:

$$a^{res} = a^{hc} + a^{disp} + a^{assoc} \quad (1)$$

در این رابطه، a^{res} بیانگر آزاد هلمهولتز یک مول از برش های کروی سیال کره سخت است. داشتن یک معادله حالت دقیق برای مخلوط کرات سخت به عنوان سیال مرجع، تختین گام ضروری برای توسعه یک نظریه اغتشاش جهت بیان رفتار سیال واقعی، کلوبنیدی و... است. این ترم برابر با مجموع سهم های مربوط به کره سخت، a^{hc} ، a^{disp} و زنجیر، a^{assoc} است [۱۵]:

$$a^{hc} = m a^{hc} - (m-1) Lng^{hc} \quad (2)$$

که در رابطه فوق:

$$g^{hc} = \frac{1 - 0.5\eta}{(1-\eta)^3} \quad (3)$$

$$\eta = \frac{\pi}{6} \rho m d^3 \quad (4)$$

$$d = \sigma \left[1 - 0.12 \exp \left(\frac{-3\epsilon}{kT} \right) \right] \quad (5)$$

جمله a^{disp} در رابطه (۱)، سهم انرژی آزاد هلمهولتز ناشی از نیروهای جاذبه با دامنه بلند است. این نیروها عمده از انرژی حاصل از اثرات کوانتموی و مممان های چندقطبی حاصل می شوند [۱۵].

$$a^{disp} = -2\pi\rho I_1 \left[m^2 \left(\frac{\epsilon}{kT} \right) \sigma^3 \right] - \pi\rho m C_1 I_2 \left[m^2 \left(\frac{\epsilon}{kT} \right) \sigma^3 \right] \quad (6)$$

همچنین، a^{assoc} سهم انرژی هلمهولتز ناشی از اثرات متقابل الکترون های باقیمانده لایه والانس است که به صورت زیر بیان می شود [۱۵]:

$$a^{assoc} = \sum_A \left[\ln X^A - \frac{X^A}{2} \right] + \frac{M}{2} \quad (7)$$

$$X^A = \left[1 + \rho \sum_B X^B \Delta^{AB} \right]^{-1} \quad (8)$$

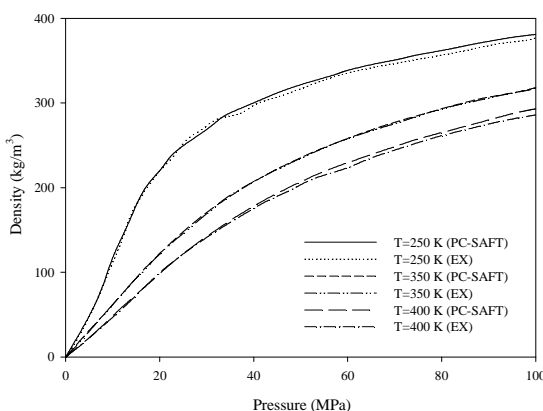
$$\Delta^{AB} = g^{hc}(d) \left[\exp \left(\frac{\epsilon^{AB}}{kT} \right) - 1 \right] (\sigma^3 k^{AB}) \quad (9)$$

پیچیده، نیازمند برنامه‌نویسی به کمک کامپیوتر است که این مهم در کار حاضر انجام گردیده است.

۳- نتایج ۱- چگالی

محاسبات چگالی برای هیدروکربن‌های خالص (شامل هیدروکربن‌های سنگین و درشت مولکول) مخلوط‌های دوتایی و سه‌تایی و همچنین مخلوط‌هایی شامل ترکیب پیچیده ارائه شده‌اند. دقت بالای نتایج خالص، مخصوصاً در نمودارهای خطای مطلق، نشان از دقت بالای معادله حالت نظریه سیالات تجمعی در تعیین دقیق چگالی مواد است. برای هیدروکربن‌های خالص ضریب برهمکنش به دلیل خالص بودن ماده، صفر در نظر گرفته می‌شود. چگالی برای متان خالص محاسبه شد که نتایج آن در شکل ۱ مشاهده می‌شود. این محاسبات برای سه حالت دمایی ۲۵۰، ۳۵۰ و ۴۰۰ کلوین انجام شده است. همان‌طور که انتظار می‌رفت با افزایش دما، چگالی کاهش می‌یابد که در این شکل به‌وضوح قابل مشاهده است.

در شکل ۲ درصد خطای محاسبات انجام شده با نتایج نیست [۱۹] مقایسه شده است که حداقل خطا برای دمای ۲۵۰ کلوین برابر ۳۳٪ و برای دمای ۳۵۰ کلوین ۱/۸۸ و برای دمای ۴۰۰ کلوین ۱/۷۸ است. درصد خطاهای به‌دست‌آمده، نشان از دقت بالای نتایج دارد.



شکل ۱- چگالی متان خالص محاسبه شده به روش PC-SAFT و نتایج تجربی

یکی از مزایای معادله حالت نظریه سیالات تجمعی، تعیین خواص ترمودینامیکی هیدروکربن‌های سنگین است. در اینجا، چگالی آلkan سنگین هگزادکان نرمال با وزن مولی ۲۶/۴۴۶ گرم بر مول تا فشار ۲۶۲ مگاپاسکال محاسبه شد. معادلات حالت دیگر برای این فشارها خطاهای زیادی ایجاد می‌کند. محاسبات چگالی در سه دمای مختلف انجام گرفت و نتایج آن با کار وو و همکاران [۲۰]، که چگالی را با استفاده از معادله حالت AR به دست آورده بودند، مقایسه شد.

۲-۲- انتالپی

هرگاه یک فرایند هم‌فشار در دستگاهی انجام شود، گرمای داده شده یا گرفته شده از دستگاه با تغییر انتالپی آن برابر است. با استفاده از روابط ترمودینامیکی و استخراج خواص از این روابط، انتالپی مواد خالص و مواد مرکب را با استفاده از رابطه (۱۲) می‌توان به دست آورد. تنها کافی است با ثابت فرض نمودن چگالی، از رابطه انرژی آزاد هلمهولتز نسبت به دما مشتق گرفته و با به کاربری سهم انتالپی گاز ایده‌آل، انتالپی مولار مخلوط را به دست آورد.

$$\frac{h^{res}}{RT} = -T \left(\frac{\partial a^{res}}{\partial T} \right)_{p,x_i} + (z - 1) \quad (12)$$

a^{res} از معادله (۱) محاسبه می‌شود و $\left(\frac{\partial a^{res}}{\partial T} \right)$ مشتق مرتبه اول انرژی آزاد هلمهولتز نسبت به دمای مطلق است.

۳-۲- انتروپی

انتروپی بیانگر میزان بینظمی ذرات است و معمولاً با استفاده از روابط ترمودینامیکی، اختلاف انتروپی در یک سیستم اندازه‌گیری می‌شود [۲۶]:

$$\frac{s^{res}}{R} = -T \left[\left(\frac{\partial a^{res}}{\partial T} \right)_{p,x_i} + \frac{a^{res}}{T} \right] + \ln(Z) \quad (13)$$

۴-۲- انرژی درونی

انرژی درونی بسیار وابسته به ذرات سازنده و فاز مربوط به آن‌ها است و همانند انتالپی و انتروپی نمی‌توان مقدار آن را با استفاده از یک دستگاه اندازه‌گیری محاسبه کرد. برای محاسبه این خاصیت مهم ترمودینامیکی از رابطه (۱۴) بهصورت زیر استفاده می‌شود [۲۰]:

$$\frac{U^{res}}{RT} = -T \left(\frac{\partial a^{res}}{\partial T} \right)_p \quad (14)$$

۵-۲- ظرفیت گرمایی در حجم و فشار ثابت

مفهوم ظرفیت گرمایی در موقعی که تبادل حرارتی سیستم با محیط سبب تغییر دما می‌شود اهمیت پیدا می‌کند. از این‌رو می‌توان ظرفیت گرمایی در حجم و فشار ثابت را از طریق روابط (۱۵) و (۱۶) به دست آورد [۲۷]:

$$C_p^{res} = C_v^{res} + R \left[\frac{\left(\rho T \left(\frac{\partial \tilde{a}^{res}}{\partial \rho} \frac{\partial T}{\partial \tilde{a}^{res}} \right) + \rho \left(\frac{\partial \tilde{a}^{res}}{\partial \rho} \right)^2 + 1 \right)}{\left[\rho^2 \left(\frac{\partial^2 \tilde{a}^{res}}{\partial \rho^2} \right) + 2\rho \left(\frac{\partial \tilde{a}^{res}}{\partial \rho} \right)^2 + 1 \right]} \right] \quad (15)$$

$$C_v^{res} = -RT \left[2 \left(\frac{\partial a^{res}}{\partial T} \right)_p + T \left(\frac{\partial^2 a^{res}}{\partial T^2} \right)_p \right] \quad (16)$$

همان‌طور که ملاحظه می‌شود در روابط اخیر با مشتق‌ات مرتبه دوم انرژی آزاد هلمهولتز نسبت به دما و چگالی مواجهیم که روابط به‌مراتب پیچیده‌تر نسبت به معادلات مشتق مرتبه اول دارد. این روابط بسیار طولانی که پارامترهای زیادی دارند، تنها برای هیدروکربن‌های خالص برقرارند. استخراج روابطی مشابه روابط مذکور برای یک ترکیب

از ترکیب گازی است. برای گاز طبیعی NG1، با درصد مولی مشخص شده در جدول ۳، چگالی گاز طبیعی برای فشارهای تا ۱۵ مگاپاسکال و برای حالت های دما ثابت ۲۷۳/۱۵، ۲۵۳/۱۵، ۲۹۳/۱۵ و ۳۲۳/۱۵ کلوین محاسبه شده است. شکل ۴ نتایج حاصل از محاسبه چگالی را برای این مخلوط در دمای ثابت نشان می دهد.

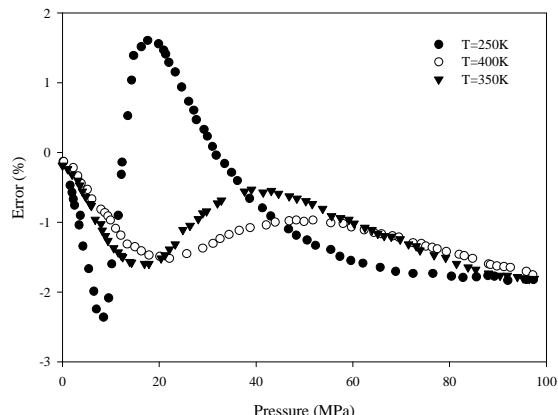
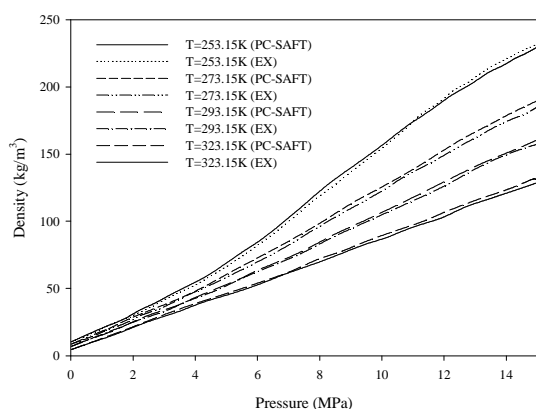
جدول ۲- درصد انحراف مطلق میانگین در محاسبات چگالی هیدروکربن های یکسان

ترکیبات	دما (K)	مرجع	(MPa)	فشار	AAD(%)
CH ₄	۲۵۰-۴۰۰	[۲۰]	-۱۰۰	۰-	۱/۲۱
C ₁₂ H ₃₆	۳۲۳-۵۲۲	[۱۹]	۱۴-۲۶۲/۳	۰-	۱/۹۴
C ₃ H ₆	۵۲۲-۵۵۵	[۲۱]	۱۱۰-۳۲۰	۰/۰۰۰۱۱-۱/۹۱	۰/۲۸

جدول ۳- درصد مولی ترکیبات مورد استفاده در محاسبات چگالی گاز طبیعی

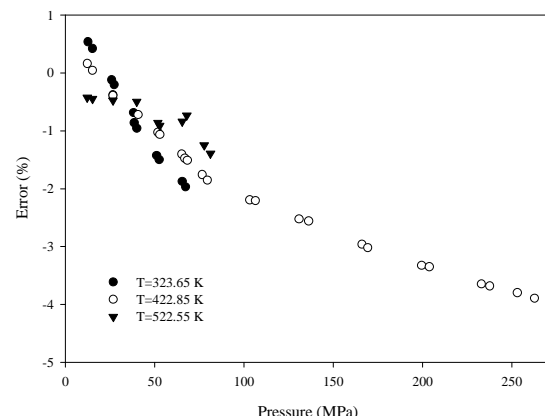
اجرا	NG1	NG2	NG3	NG4	NG5
CH ₄	۹۰/۳۶۲	۹۸/۳۵۲	۹۲/۴۳۶	۹۰/۹۹۱	۸۹/۹۸۲
C ₂ H ₆	۵/۷۰۸	۰/۵۱۱	۱/۲۸۵	۲/۹۴۹	۳/۰۰۹
C ₃ H ₈	۱/۱۲۴	۰/۱۵۳	۰/۳۴۸	۱/۵۱۳	۱/۵۰۶
C ₄ H ₁₀	۰/۱۶۹	۰/۰۳۱	۰/۰۶	۰/۷۵۵	۰/۷۵۳
i-C ₄ H ₁₀	۰/۳۰۱	۰/۰۲۱	۰/۰۴۱	۰/۷۵۵	۰/۷۵۲
C ₅ H ₁₂	۰/۰۲۹	۰/۰۱۱	۰/۰۱۴	۰/۳۰۴	۰/۳
i-C ₅ H ₁₂	۰/۰۵۹	۰/۰۰۸	۰/۰۱۵	۰/۲۹۹	۰/۳
C ₆ H ₁₄	۰/۰۵۸	۰/۰۰۵	۰/۰۱۲	-	-
C ₇ H ₁₆	۰/۰۳۵	۰/۰۰۱	-	-	-
C ₈ H ₁₈	۰/۰۰۸	۰/۰۰۳	-	-	-
He	۰/۰۱۵	-	-	-	-
O ₂	۰/۰۱۱	-	-	-	-
CO ₂	۰/۶۴۷	۰/۰۶۶	۰/۰۵۲	۰/۴۰۳	۱/۷۰۱
N ₂	۱/۴۷۴	۱/۴۷۴	۰/۸۴۱	۰/۷۷۵	۰/۰۳۱
					۱/۶۹۷

شکل ۵ درصد خطای مقایسه شده با داده های آزمایشگاهی [۲۲ و ۲۳] را برای این ترکیب نشان می دهد. با توجه به این شکل بیشترین درصد خطای برای حالت دما ثابت ۲۹۳/۱۵ کلوین برابر ۲۰/۹ و برای حالت دما ثابت ۳۲۳/۱۵ کلوین ۱/۷۵ است.



شکل ۲- درصد خطای محاسبه چگالی متان خالص

شکل ۳ درصد خطای مربوط به نتایج حاصل از کار حاضر نسبت به نتایج وو و همکاران [۲۰] را نشان می دهد. این درصد خطای در دمای ۳۲۳/۶۵ کلوین برابر ۲/۴۷، در دمای ۴۲۲/۸۵ کلوین برابر ۵۲۲/۵۵ و در دمای ۳/۸۸ برابر ۴/۳۳ است.

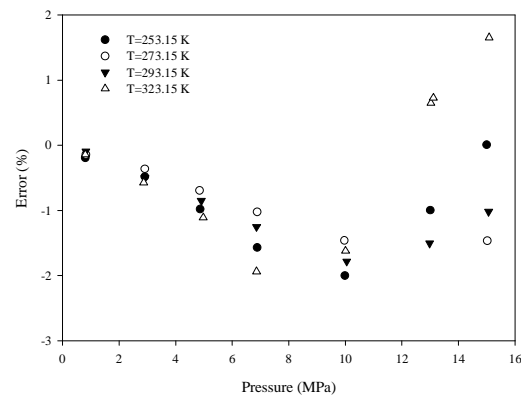


شکل ۳- درصد خطای محاسبه چگالی هگزادکان نرمال

با توجه به نتایج چگالی و هیدروکربن فوق، مقادیر انحراف مطلق میانگین آنها در جدول ۲ ارائه شده است. مقایسه درصد خطای بیانگر آن است که معادله حالت نظریه سیالات تجمعی به دما، فشار، جرم مولکولی، پلیمر بودن ماده، سبک و سنگین بودن و... محدود نمی شود.

جدول ۳ ترکیبات چندتایی شبیه گاز طبیعی، شامل جزء مولی چهارده عنصر گاز طبیعی را نشان می دهد. این داده ها نزدیکترین داده های آزمایشگاهی در دسترس جهت تعیین دقیق معادله حالت نظریه سیالات تجمعی برای چنین ترکیباتی است. همان طور که ملاحظه می شود، عناصر غیر هیدروکربنی نظیر اکسیژن، دی اکسید کربن و هلیوم در این جدول وجود دارند که چگالی آنها نیز باید محاسبه و در معادله لحاظ شود. برای نشان گذاری هر کدام از پنج ترکیب موجود در جدول مذکور، هر یک از نامگذاری های NG5 تا NG1 نماینده نوعی

شکل ۴- چگالی NG1 محاسبه شده به روش PC-SAFT و نتایج تجربی

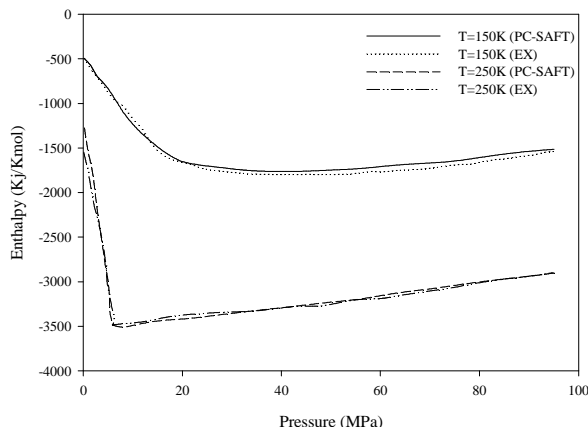


شکل ۵- درصد خطای محاسبه چگالی گاز NG1

جهت اعتبار سنجی دقیق و منطقی نتایج مربوط به چگالی، جدول ۴ که شامل انحراف مطلق میانگین ترکیبات مورد نظر است ارائه شده است. همان‌طور که مشاهده می‌شود در بازه‌گستردگی از دما و همچنین در فشارهای پایین‌تر از ۱۵ مگاپاسکال برای NG1 تا NG3 همچنین فشارهای تا ۳۵ مگاپاسکال برای NG4. درصد انحراف مطلق میانگین کمتر از ۱/۱۱۱ درصد است که این نشان از دقت بالای معادله نظریه سیالات تجمعی دارد. با این حال، هر چه تعداد عناصر بیشتر می‌شود درصد انحراف کاهش می‌یابد.

جدول ۴- درصد انحراف مطلق میانگین در محاسبات چگالی گاز طبیعی

ترکیبات	مرجع	فشار (MPa)	(دما)	AAD(%)
NG1	[۲۲]	۱-۱۵	۲۵۳/۱۵-۳۲۳/۱۵	۱/۱۱۱
NG2	[۲۲]	۱-۱۵	۲۵۳/۱۵-۳۲۳/۱۵	۱/۰۹
NG3	[۲۲]	۱-۱۵	۲۵۲/۱۵-۳۲۲/۱۵	۱/۰۶
NG4	[۲۳]	۲-۳۵	۲۷۰-۳۴۰	۰/۹۳



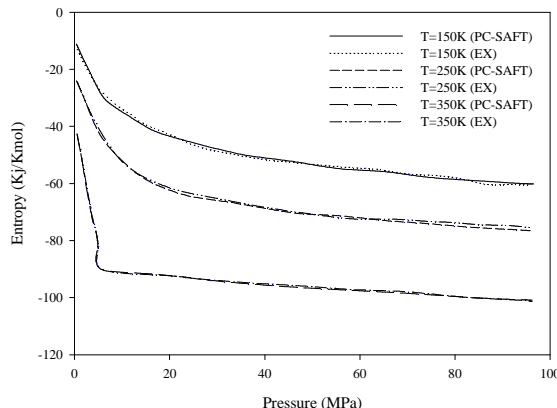
شکل ۶- نتایج محاسبات انتالپی متان خالص و نتایج تجربی

جهت اثبات دقت محاسبات معادله حالت نظریه سیالات تجمعی، محاسبات انحراف مطلق میانگین برای تمامی ترکیبات این بخش انجام شده است. طبق نتایج مندرج در جدول ۶ بیشترین مقدار درصد انحراف مطلق میانگین برای محاسبه افزایش انتالپی ترکیب شماره پنج است. با توجه به این جدول، مشاهده می‌شود معادله حالت نظریه سیالات تجمعی قابلیت محاسبه مقدار دقیق انتالپی را برای یک هیدروکربن خالص نظیر متان و با ترکیب چند هیدروکربن دارد.

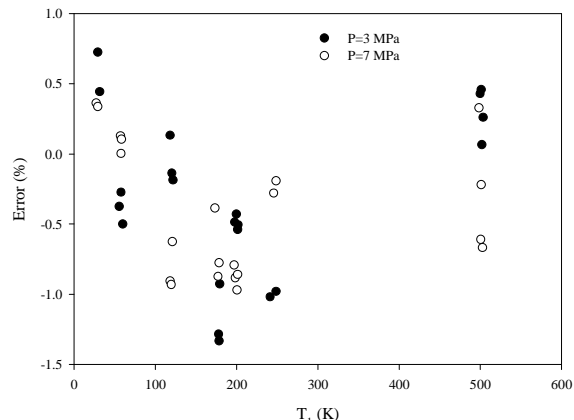
اجرا	ترکیب ۱	ترکیب ۲	ترکیب ۳	ترکیب ۴	ترکیب ۵	ترکیب ۶
C ₁ H ₄	۱۰۰	۰/۸۹	۰/۷۵	۰/۴۹۵	۰/۵۹۹۹	۰/۲
C ₂ H ₆	-	۰/۱۱	۰/۲۵	-	۰/۲۹۹۹	۰/۲
N ₂	-	-	-	-	۰/۱۰۰۱	۰/۲
C ₃ H ₈	-	-	-	-	-	-
C ₄ H ₁₀	-	-	-	-	-	۰/۲

۲-۳- انتالپی

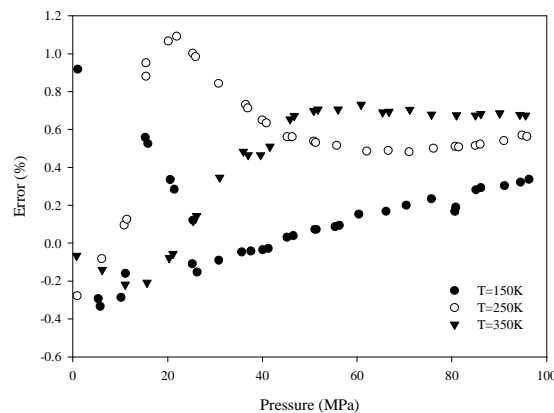
با توجه به روابط استخراج شده، افزایش انتالپی در یک فرآیند فشار ثابت محاسبه خواهد شد. انتالپی در نقطه‌ی ورودی، با اطلاع دقیق از دما، فشار و جزء مولی ترکیب انتالپی محاسبه می‌شود، سپس در



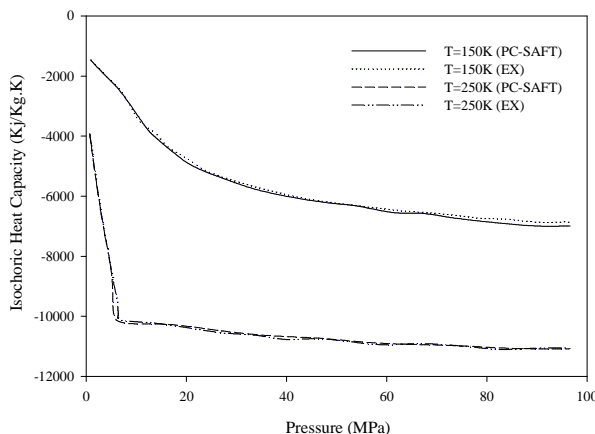
شکل ۸- نتایج محاسبات انتروپی متان خالص با نتایج تجربی



شکل ۷- درصد خطای محاسبه افزایش انتالپی متان خالص



شکل ۹- درصد خطای محاسبات انتروپی متان خالص



شکل ۱۰- نتایج محاسبات انرژی درونی متان خالص و نتایج تجربی

شکل ۱۰ نشان می دهد که با افزایش فشار، انرژی درونی کاهش می یابد و در فشارهای خیلی بالا این کاهش بصورت خطی تغییر می کند. شکل ۱۱ نیز درصد خطای انرژی درونی برای دماهای ۱۵۰ و ۲۵۰ کلوین ارایه شده است که بیشترین خطای حاصل از نتایج در دمای ۲۵۰ کلوین است.

۳-۳- انتروپی

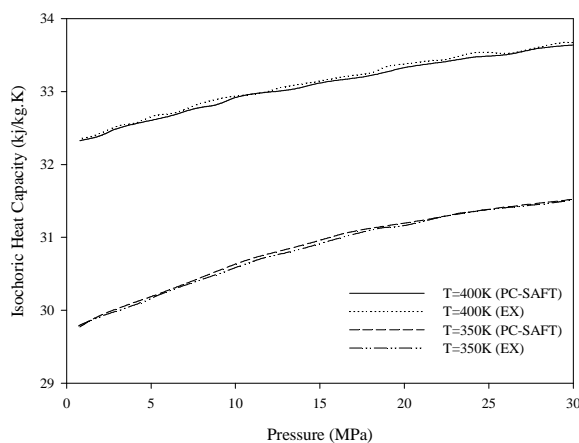
به دلیل کمبود داده های آزمایشگاهی [۲۶] برای اندازه گیری انتروپی و عدم وجود داده های تجربی برای ترکیب هیدروکربن ها، تنها نتایج مربوط به متان خالص با داده های آزمایشگاهی مقایسه شده است. مطابق با شکل ۸، محاسبات انتروپی متان خالص برای دماهای ۱۵۰، ۲۵۰ و ۳۵۰ کلوین انجام شده است. فشار از صفر تا ۱۰۰ مگاپاسکال در حال تغییر بوده و نشان از قابلیت این معادله حالت جهت محاسبه انتروپی در فشارهای بالا دارد. خطای مطلق محاسبات در شکل ۹ ارائه شده است که بر این اساس خطای بین ۰/۰۷۴ تا ۱/۱۶ است که بیانگر دقیق بالای محاسبه انتروپی به کمک معادله حالت نظریه سیالات تجمعی است.

جدول ۶- درصد انحراف میانگین مطلق برای محاسبه افزایش انتالپی

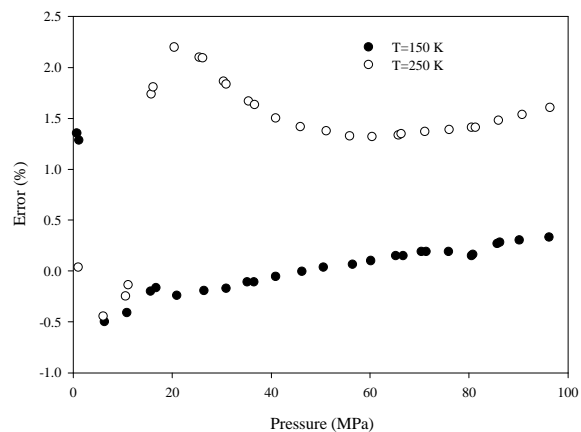
ترکیبات	مرجع	فشار (MPa)	دما (k)	AAD %
متان خالص	[۲۰]	۱-۱۰۰	۱۵۰-۲۵۰	۰/۶۳
ترکیب ۱	[۲۴]	۲-۷	۳۰۴-۵۲۵	۱/۷۶
ترکیب ۲	[۲۴]	۷	۳۷۶-۴۷۴	۱/۶۹
ترکیب ۳	[۲۴]	۷	۳۷۵-۴۲۸	۱/۴۲
ترکیب ۴	[۲۴]	۱-۷	۱۷۰-۲۳۳	۲/۰۰
ترکیب ۵	[۲۴]	۱-۷	۱۷۹-۳۲۸	۲/۵۱
ترکیب ۶	[۲۵]	۱/۵-۵/۶	۳۶۱-۳۶۷	۲/۴۰

۴-۳- انرژی درونی

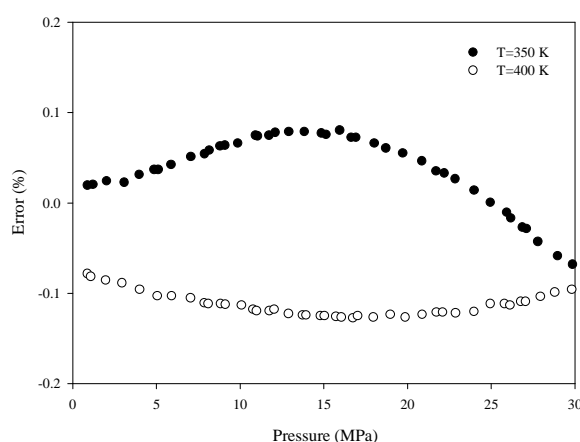
محاسبات برای انرژی درونی نیز انجام و نتایج با نتایج آزمایشگاهی مقایسه شد. در این حالت نیز خطای محاسباتی بسیار اندک بوده که نشان از دقت بالای معادله حالت نظریه سیالات تجمعی برای محاسبه انرژی درونی دارد.



شکل ۱۲- مقایسه نتایج محاسبه ظرفیت گرمایی در حجم ثابت برای متان خالص



شکل ۱۱- درصد خطای محاسبات انرژی درونی متan خالص



شکل ۱۳- درصد خطای برای ظرفیت گرمایی در حجم ثابت برای متان خالص

محاسبه خواص ترمودینامیکی در فاز مایع و محلول‌های دوفازی یکی از ویژگی‌های معادله حالت نظریه سیالات تجمعی است. بر اساس این محاسبه، ظرفیت گرمایی در حجم ثابت متان خالص، اتان خالص و ترکیب متان-اتان در بازه دمایی ۱۰۰ تا ۲۰۰ کلوین و مقادیر فشار کمتر از ۱۰ مگاپاسکال، با داده‌های آزمایشگاهی مقایسه شد. درصد انحراف مطلق میانگین برای محاسبه ظرفیت گرمایی در حجم ثابت ترکیباتی که در این بخش موردنبررسی قرار گرفت، در جدول ۸ را بهره‌شده است. مقدار انحراف مطلق میانگین به‌ویژه در دمای پایین نشان‌دهنده دقت مناسب معادله حالت نظریه سیالات تجمعی در محاسبه ظرفیت گرمایی است.

۳-۶- ظرفیت گرمایی در فشار ثابت

در این بخش، ظرفیت گرمایی در فشار ثابت، برای دو ترکیب پیچیده شبیه گاز طبیعی مطابق جدول ۹ محاسبه شده است. سپس محاسبات هر بخش که با معادله حالت نظریه سیالات تجمعی انجام شده است با داده‌های آزمایشگاهی موجود مقایسه و برای هر بخش درصد خطای میانگین در دمای ۳۵۰ برابر با ۰/۸۹ و در دمای ۴۰۰ کلوین معادل ۰/۱۳ است.

جدول ۷ جهت نمایش درصد انحراف مطلق میانگین برای محاسبه انرژی درونی و انتروپی متان خالص ارائه شده است. همان‌طور که مشاهده می‌شود محاسبات برای دماهای ۱۵۰ تا ۳۵۰ کلوین و فشارهای تا ۱۰۰ مگاپاسکال، درصد انحراف مطلق میانگین کمتر از یک درصد دارد که نشان از اعتبار بالا و دقت قابل قبول معادله حالت نظریه سیالات تجمعی در تعیین انتروپی و انرژی درونی است.

جدول ۷- درصد انحراف مطلق میانگین برای محاسبه انرژی و انتروپی متان خالص

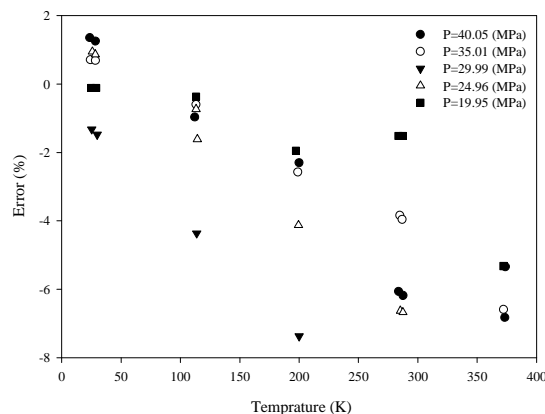
AAD (%)	فشار (MPa)	دما (K)	مرجع	خواص	ترکیبات
۰/۷۷	۱-۱۰۰	۱۵۰-۳۵۰	[۲۶]	انرژی درونی	متان خالص
۰/۴۳	۱-۱۰۰	۱۵۰-۳۵۰	[۲۶]	انتروپی	متان خالص

۳-۵- ظرفیت گرمایی در حجم ثابت

در این بخش، ظرفیت گرمایی در حجم ثابت برای هیدروکربن‌های خالص و مرکب محاسبه و با داده‌های تجربی مقایسه شده است. در ابتدا ظرفیت گرمایی در حجم ثابت برای متان خالص محاسبه شده است [۲۰]. سپس ترکیب دوتایی متان-اتان در دو ترکیب با جزء مولی متفاوت مورد بررسی قرار گرفته و درنهایت این دو بخش در دماهای پایین و در فاز مایع تحلیل شده‌اند.

در شکل ۱۲ ظرفیت گرمایی در حجم ثابت برای متان خالص با داده‌های تجربی مقایسه شده است. این محاسبات برای دماهای ثابت ۳۵۰ و ۴۰۰ و نیز فشار ۳۰ مگاپاسکال انجام شده است. شکل ۱۳، درصد خطای مطلق میانگین را نشان می‌دهد. بر طبق آن، بیشترین درصد خطای میانگین در دمای ۳۵۰ برابر با ۰/۸۹ و در دمای ۴۰۰ کلوین معادل ۰/۱۳ است.

با استفاده از انرژی آزاد هلمهولتز ارائه و سپس با استفاده از معادله حالت نظریه سیالات تجمعی انرژی آزاد هلمهولتز محاسبه شد. در ادامه با توجه به تعداد زیاد پارامترهای دخیل در این معادله حالت، روابط مربوط به محاسبه خواص از معادله حالت نظریه سیالات تجمعی استخراج شد تا ارتباط بین این معادله و خواص ترمودینامیکی بهوضوح تعیین گردد. جهت اعتبار سنجی نتایج حاصل از این معادله حالت، نتایج کار حاضر با داده‌های آزمایشگاهی مقایسه شد. نتایج نشان دادند که این معادله حالت از دقت بالایی در تعیین خواص ترمودینامیکی برخوردار است. از ویژگی‌های آن می‌توان به پوشش گستردگی دمایی و فشاری اشاره کرد. در این پژوهش، خواص مربوط به محدوده فشارهای بالای ۲۵۰ مگاپاسکال و محدوده دمایی نزدیک ۱۰۰ کلوین به دست آمد و نشان داده شد که حتی در این محدوده فشار بالا و دمای پایین، معادله حالت نظریه سیالات تجمعی از دقت قابل قبولی برخوردار است. بنابراین، می‌توان خواص ترمودینامیکی هر ترکیب هیدروکربنی را با دقتی مناسب با استفاده از این معادله حالت محاسبه کرد.



شکل ۱۵- درصد خطای برای محاسبه ظرفیت گرمایی در فشار ثابت مربوط به ترکیب ۲

جدول ۸- انحراف مطلق میانگین برای محاسبه ظرفیت گرمایی در

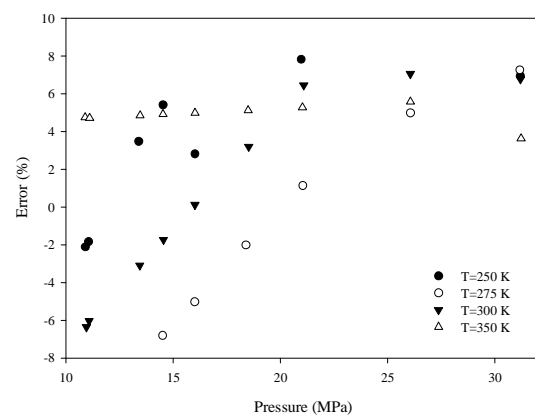
حجم ثابت

AAD (%)	دما (K)	فشار (MPa)	مرجع	ترکیبات
۰/۲۲	۳۵۰-۴۰۰	۱-۱۰۰	[۲۰]	متان خالص
۴/۹۵	۲۱۰-۳۲۰	۱-۴۰	[۲۷]	$0.50217\text{CH}_4+0.49783\text{C}_2\text{H}_6$
۱/۶	۲۱۰-۳۲۰	۱-۴۰	[۲۷]	$0.6553\text{CH}_4+0.3147\text{C}_2\text{H}_6$

جدول ۹- درصد مولی ترکیبات مورداستفاده در محاسبات ظرفیت گرمایی در فشار ثابت ترکیبات شبیه گاز طبیعی

ترکیب ۲	ترکیب ۱	ترکیبات
۷۹/۹۴۲	۸۹/۵۶۹	CH_4
۵/۰۲۲	۸/۳۴۸	C_2H_6
۳/۰۰	۱/۱۹۷	C_3H_8
-	۰/۱۹۴	C_4H_{10}
-	۰/۲۲۶	$i\text{-C}_4\text{H}_{10}$
-	۰/۰۱۵	$i\text{-C}_5\text{H}_{12}$
۴/۹۳۹	۰/۴۹۶	N_2
۲/۰۹	-	CO_2

در شکل ۱۴، ظرفیت گرمایی برای ترکیب شماره ۱ در فشارهای کمتر از ۳۰ مگاپاسکال محاسبه شده است. در شکل ۱۵ این محاسبات برای دمای‌های ۳۵۰، ۳۰۰، ۲۷۵، ۲۵۰، ۳۰۰، ۲۷۵، ۲۵۰، ۳۰۰، ۲۷۵ درصد خطای محاسبه شده برای دمای‌ی ثابت ۳۵۰ درجه کلوین با داده‌های آزمایشگاهی [۲۷] مقایسه شده است که بیشترین درصد خطای محاسبه شده برای دمای‌ی ثابت ۳۵۰ درجه کلوین با ترتیب برابر با ۲/۶۶، ۴/۸۴، ۴/۸۴ و ۷/۹۸ است.



شکل ۱۶- درصد خطای برای محاسبه ظرفیت گرمایی در فشار ثابت مربوط به ترکیب ۱

۴- نتیجه‌گیری

معادله حالت نظریه سیالات تجمعی زنجیره مشوش یکی از جدیدترین اصلاحات معادلات حالت ترمودینامیکی SAFT است. در این پژوهش با استفاده از معادله حالت نظریه سیالات تجمعی، خواص ترمودینامیکی هیدروکربن‌ها موردمحاسبه قرار گرفت. ابتدا با بهره‌گیری از روابط کانونی گرد، معادلات مربوط به محاسبه خواص ترمودینامیکی

- [17] Mi J.G., Chen J., Gao G.H., Fei W.Y., Equation of state extended from SAFT with improved results for polar fluids across the critical point, *Fluid Phase Equilibria*, Vol. 201, No. 2, pp. 295-307, 2002.
- [18] Barker J. A., Henderson D., Perturbation theory and equation of state for fluids. II. A successful theory of liquids, *The Journal of Chemical Physics*, Vol. 47, No. 11, pp. 4714-4721, 1967.
- [19] Mallard W., Westley F., Herron J., Hampson R., Frizzell D., *NIST chemical kinetics database*: National Institute of Standards and Technology, 1992.
- [20] Wu Y., Bamgbade B., Liu K., McHugh M. A., Baled H., Enick R. M., Burgess W. A., Tapriyal D., Morreale B. D., Experimental measurements and equation of state modeling of liquid densities for long-chain n-alkanes at pressures to 265 MPa and temperatures to 523 K, *Fluid Phase Equilibria*, Vol. 311, pp. 17-24, 2011.
- [21] Senol I., Perturbed-Chain Statistical Association Fluid Theory (PC-SAFT) Parameters for Propane, Ethylene, and Hydrogen under Supercritical Conditions, *disp*, Vol. 2, pp. 1, 2011.
- [22] Čapla L., Buryan P., Jedelský J., Rottner M., Linek J., Isothermal PVT measurements on gas hydrocarbon mixtures using a vibrating-tube apparatus, *The Journal of Chemical Thermodynamics*, Vol. 34, No. 5, pp. 657-667, 2002.
- [23] Patil P., Ejaz S., Atilhan M., Cristancho D., Holste J. C., Hall K. R., Accurate density measurements for a 91% methane natural gas-like mixture, *The Journal of Chemical Thermodynamics*, Vol. 39, No. 8, pp. 1157-1163, 2007.
- [24] Grini P. G., Owren G. A., Mæhlum H., Isobaric enthalpy increment and isenthalpic Joule-Thomson effect measurements on synthetic gas containing binary, or ternary mixtures of methane, ethane, propane, and nitrogen, *The Journal of Chemical Thermodynamics*, Vol. 30, No. 8, pp. 1011-1027, 1998.
- [25] Ashton G., Haselden G., Measurements of enthalpy and phase equilibrium for simulated natural gas mixtures and correlation of the results by a modified Starling equation, *Cryogenics*, Vol. 20, No. 1, pp. 41-47, 1980.
- [26] Setzmann U., Wagner W., A new equation of state and tables of thermodynamic properties for methane covering the range from the melting line to 625 K at pressures up to 100 MPa, *Journal of Physical and Chemical Reference Data*, Vol. 20, No. 6, pp. 1061-1155, 1991.
- [27] Mayrath J., Magee J., Measurements of molar heat capacity at constant volume: C V, m {xCH 4+(1-x) C 2 H 6, T= 100 to 320 K, p≤35 MPa}, *The Journal of Chemical Thermodynamics*, Vol. 21, No. 5, pp. 499-513, 1989.
- [28] Barreau A., Janneteau P., Gaillard K., Isobaric heat capacity of natural gases. Measurements and modelling, *Fluid Phase Equilibria*, Vol. 119, No. 1, pp. 197-212, 1996.
- [29] Tan S. P. and Piri M., Equation of state modeling of associating-fluids phase equilibria in nanopores, *Fluid Phase Equilibria*, Vol. 405, pp. 157-166, 2015.
- [30] Kraus E. I. and Shabalin I. I., Afew-parameter equation of state of the condensed matter, *Journal of Physics: conference series*, doi:10.1088/1742-6596/774/1/012009, 774, 2016.
- [31] Kataoka Y. and Yamada Y., A universal Equation of state for hydrocarbons, *Journal of Computer Chemistry Japan*, Vol. 14 (1), pp. 10-17, 2015.

عمق چاه پتانسیل	ϵ
دانسیته کاهش یافته	ζ
برد دافعه	λ
شعاع سگمنت هسته سخت	σ

۵- مراجع

- [1] Shah V., Lin Y.-L., Bienkowski P., Cochran H., A generalized quartic equation of state, *Fluid Phase Equilibria*, Vol. 116, No. 1, pp. 87-93, 1996.
- [2] ABBOTT M. M., *Cubic equations of state: an interpretive review*, in: Eds. 1979.
- [3] Anderko A., Equation-of-state methods for the modelling of phase equilibria, *Fluid Phase Equilibria*, Vol. 61, No. 1, pp. 145-225, 1990.
- [4] Justo-García D. N., García-Sánchez F., Díaz-Ramírez N. L., Díaz-Herrera E., Modeling of three-phase vapor-liquid-liquid equilibria for a natural-gas system rich in nitrogen with the SRK and PC-SAFT EoS, *Fluid Phase Equilibria*, Vol. 298, No. 1, pp. 92-96, 2010.
- [5] McCarty R., Extended corresponding states as a tool for the prediction of the thermodynamic properties of mixtures, *International Journal of Thermophysics*, Vol. 7, No. 4, pp. 901-910, 1986.
- [6] Estela-Uribe J., Trusler J., Extended corresponding states equation of state for natural gas systems, *Fluid Phase Equilibria*, Vol. 183, pp. 21-29, 2001.
- [7] Kunz O., de Recherches Gazières G. E., *The GERG-2004 wide-range equation of state for natural gases and other mixtures*: VDI Verlag, 2007.
- [8] Wendland M., Saleh B., Fischer J., Accurate thermodynamic properties from the BACKONE equation for the processing of natural gas, *Energy & fuels*, Vol. 18, No. 4, pp. 938-951, 2004.
- [9] Nasrifar K., Bolland O., Prediction of thermodynamic properties of natural gas mixtures using 10 equations of state including a new cubic two-constant equation of state, *Journal of Petroleum Science and Engineering*, Vol. 51, No. 3, pp. 253-266, 2006.
- [10] EoS A.D., Compressibility and super compressibility for natural gas and other hydrocarbon gases, *Transmission Measurement Committee Report*, No. 8, 1992.
- [11] Gross J., Sadowski G., Perturbed-chain SAFT: An equation of state based on a perturbation theory for chain molecules, *Industrial & engineering chemistry research*, Vol. 40, No. 4, pp. 1244-1260, 2001.
- [12] Aparicio-Martínez S., Hall K. R., Use of PC-SAFT for global phase diagrams in binary mixtures relevant to natural gases. 1. n-Alkane+ n-alkane, *Industrial & engineering chemistry research*, Vol. 46, No. 1, pp. 273-284, 2007.
- [13] Aparicio-Martínez S., Hall K. R., Use of PC-SAFT for global phase diagrams in binary mixtures relevant to natural gases. 3. Alkane+ non-hydrocarbons, *Industrial & engineering chemistry research*, Vol. 46, No. 1, pp. 291-296, 2007.
- [14] Aparicio-Martínez S., Hall K. R., Use of PC-SAFT for global phase diagrams in binary mixtures relevant to natural gases. 2. n-Alkane+ other hydrocarbons, *Industrial & engineering chemistry research*, Vol. 46, No. 1, pp. 285-290, 2007.
- [15] Chapman W. G., Gubbins K. E., Jackson G., Radosz M., New reference equation of state for associating liquids, *Industrial & engineering chemistry research*, Vol. 29, No. 8, pp. 1709-1721, 1990.
- [16] Blum L., Høye J., Mean spherical model for asymmetric electrolytes. 2. Thermodynamic properties and the pair correlation function, *The Journal of Physical Chemistry*, Vol. 81, No. 13, pp. 1311-1316, 1977.